

STRUKTURA ANTROPOLOGICZNA CMENTARZYSKA *TABLADA DE LURIN*

I. Wstęp

Stanowisko *Tablada de Lurin* położone jest na południowych obrzeżach stolicy Peru, Limy, w dolinie rzeki Lurin, kilka kilometrów od wybrzeża Pacyfiku. Stanowi ono przedmiot intensywnych badań wykopaliskowych rozpoczętych w 1958 r.¹ i kontynuowanych od 1991 r. w ramach *Proyecto Arqueológico „Tablada de Lurin”* uniwersytetu *Pontificia Universidad Católica* z Limy². Autor uczestniczył w pracach tego projektu w latach 1995-1996. Wykonane wtedy analizy antropologiczne, miały na celu:

- 1) ustalenie podobieństwa czaszek z Tablady, a seriami czaszek pochodzących z okresu *Formativo Superior* i *Periodo de Desarrollos Regionales* (200 p.n.e. - 200 n.e.) ze stanowisk z centralnego wybrzeża Peru³, zwłaszcza zaś z sąsiednim cmentarzyskiem w Villa El Salvador⁴ (fig. 1),
- 2) weryfikację hipotez dotyczących wewnętrznego zróżnicowania ludności pochowanej na tym cmentarzysku.

Łącznie przebadano ponad 300 czaszek pochodzących z trzech stanowisk. Różnice pomiędzy seriami pozwalają na określenie kierunku najważniejszych zmian ludnościowych na terenie centralnego wybrzeża Peru w okresie *Formativo Superior*. Polegały one głównie na zwiększeniu udziału elementu mongoloidalnego i pacyficznego kosztem składników bardziej archaicznych. Potwierdziła się także znana już z innych stanowisk (WIERCIŃSKI, PIASECKI 1986; PIASECKI 1997) wysoka różnorodność typologiczna ludności andyjskiej. Świadczy ona o silnych kontaktach międzypopulacyjnych i wysokim natężeniu procesów migracyjnych. Szczegółowa analiza materiału z Tablady, pozwoliła na wykrycie niewyróżnionego do tej pory składnika rasowego. Jego istnienie sugerował już Ireneusz Michalski. Element ten roboczo nazwano **fuegidem**, kierując się jego podobieństwem do analogicznej rasy geograficznej Imbelloniego (1938). Jest on, jak się wydaje, jednym z głównych

¹ Początkowo przez dr Josefínę Ramos de Cox (*Pontificia Universidad Católica* =PUC) a później przez dr Mercedes Cárdenas (Instituto de Riva Agüero).

² Projektem kieruje dr Krzysztof Makowski, profesor PUC, któremu wyrażam głęboką wdzięczność, nie tylko za możliwość udziału w tym projekcie, ale także za okazaną wszechstronną pomoc w realizacji badań porównawczych.

³ Do porównania wykorzystano czaszki z Paracas znajdujące się w Museo de Antropología (Lima). Autor pragnie w tym miejscu podziękować dr. Fernadowi Rojas, dyrektorowi muzeum i dr Hildze Vidal Vidal za pomoc i udostępnienie materiału.

⁴ Wykorzystanie materiałów z tego stanowiska możliwe było dzięki pomocy Mercedes Delgado, kierującej badaniami prowadzonymi przez muzeum w Villa El Salvador.

składników struktury antropologicznej obszaru andyjskiego.

W obrębie Tablady stwierdzono istnienie różnic pomiędzy czaszkami z poszczególnych części cmentarzyska, co potwierdziło hipotezę o wewnętrznym zróżnicowaniu populacji.

Podkreślić należy, że w trakcie badań porównawczych przeprowadzono po raz pierwszy podstawowe badania serii czaszek ze stanowiska Paracas, cmentarzyska eksplorowanego jeszcze w okresie międzywojennym (TELLO, MEJIA XESSPE 1979), mającego fundamentalne znaczenie nie tylko dla archeologii peruwiańskiej, ale dla całej prehistorii Ameryki.

Diagnozę typologiczną materiału przeprowadzono przy użyciu metody morfologiczno-porównawczej (MICHALSKI 1953), wykorzystując pomiary autora dokonane klasyczną techniką R. Martina, uzupełnioną o pomiary kranioskopowe według skal kranioskopowych Michalskiego-Wiercińskiego-Piaseckiego (PIASECKI 1992). Pozwoliło to na ustalenie typologii i składu rasowego badanych serii. Ich wzajemne podobieństwa określono przy użyciu metody diagraficznej Czekanowskiego, zastosowanej do macierzy odległości wyliczonych wg formuły DD^2 Henzla. Tę samą procedurę zastosowano do porównania skupisk pochówków wyróżnionych przez archeologów w trakcie eksploracji cmentarzyska na Tabladzie.

II. Struktura antropologiczna czaszek z *Tablada de Lurin*

Cmentarzysko, zgodnie z opinią badających go archeologów, użytkowane było przez około 200 lat, przy czym groby w początkowej jego fazie użytkowania miały charakter głębokich komór budowanych z kamiennych płyt, później zaś (bez wyraźnej cezury czasowej) zastąpiły je pochówki inhumacyjne. Pewną odrębnością, widoczną w wyposażeniu, charakteryzują się groby z sektorów północnych. Dlatego też oddzielnie potraktowano zarówno pochówki inhumacyjne z głównego rejonu cmentarzyska (sektor południowo-wschodni), jak i groby komorowe oraz pochówki z sektorów północnych. Pomimo stosunkowo małej liczebności czaszek owych dwóch grup, w porównaniu z sektorem SE, możliwe jest ustalenie pewnych istotnych różnic w strukturze antropologicznej.

Zestawienie składu typologicznego dla całego cmentarzyska oraz wyróżnionych grup zawiera **tabela 1**.

Ogółem dokonano analizy typologicznej 154 czaszek, w tym 80 męskich i 74 kobiecych. Większość z nich pochodziła z sektora północno-wschodniego (138: 71 męskich i 67 kobiecych), pozostałe to 6 czaszek z sektorów północnych (cztery męskie i dwie żeńskie) i 10 z grobów komorowych (obie płcie jednakowo reprezentowane). Duża część materiału, ze względu na silne zniszczenia spowodowane warunkami zalegania (piaski ilaste) pozostała nieoznaczona. Już pobieżna analiza wskazuje na wysoką różnorodność tego materiału. Aż cztery z siedmiu tworzących go elementów występują jako czyste rasy, zaś 23 stwierdzone jednostki typologiczne stanowią aż 82.1 % wszystkich teoretycznie możliwych. Oznacza to bez wątpienia wysokie natężenie procesów migracyjnych i kontaktów z innymi populacjami. Udział czystych ras jest także stosunkowo znaczny i sięga 9.1%. Obserwuje się

pewne różnice pomiędzy składem typologicznym mężczyzn i kobiet, polegające przede wszystkim na nieznacznych przesunięciach dominujących typów. Wyrażna jest za to przewaga udziału czystych ras: wśród mężczyzn są one prawie dwa razy liczniejsze niż u kobiet.

Ogólne, bardzo wysokie zróżnicowanie serii utrudnia szczegółową analizę różnic. Stają się one jednak bardziej czytelne, gdy rozważamy strukturę rasową cmentarzyska (**tabela 2**). Dla całości materiału najliczniejszym składnikiem jest *fuegid* - *f* (22.4%), niewiele przewyższający element *arktyczny* - *i* (20.8%). Prawie we wszystkich grupach, także w rozbiciu na płcie, te dwa elementy zajmują pierwsze lub drugie miejsce w strukturze dominacji. Przyjrzyjmy się teraz bliżej poszczególnym sektorom.

Sektor południowo-wschodni ze względu na swą liczebność może być uważany za reprezentatywny dla całości cmentarzyska. Tu, podobnie jak i na całym cmentarzysku, przeważa element *fuegidalny* (*f*), przy czym wśród kobiet jest on znacznie częstszy (25.8%) i zdecydowanie dominuje nad *eskimoidem* (*i* - 18.9%). Ten z kolei częściej występuje u mężczyzn (21.5%) niż element *fuegidalny* (19.4%). Także i położenie *pacyfida* (*z*) jest zmienne. Zajmując bowiem trzecie miejsce w tabeli, jest u kobiet liczniejszy nawet od *arktyka* (19.7%). Po porównaniu częstości udziału poszczególnych elementów otrzymujemy następującą formułę struktury:

mężczyźni	$i > f > z > m = l > p > q$
kobiety	$f > z > f > m > l > p = q$
całość	$f > i > z > m > l > p > q$

Charakterystyczny jest udział trzech głównych elementów, które po dodaniu do siebie osiągają podobny udział sumaryczny wynoszący odpowiednio: mężczyźni - 58.3%, kobiety - 64.4% i razem - 61.3%.

Pozostałe cztery elementy grupują się parami: *mongoloid* (*m*) z niewiele od niego rzadszym *laponoidem* (*l*) oraz *ainuid* (*p*) z elementem *wyżynny* (*q*). Przy założeniu, że najstarszą falę ludnościową reprezentują *arktyk* i *ainuid* (WIERCIŃSKI 1975), do których dodać musimy zgodnie z jego pochodzeniem *fuegida*, środkową *laponoid* i element *wyżynny*, zaś ostatnią, najmłodszą - *mongoloid* z *pacyfidem*, dostaniemy układ zilustrowany w **tabeli 3**.

Wynika z niego, iż w połowie o strukturze antropologicznej ludności pochowanej w tym sektorze decydują składniki archaiczne, zaś w zaledwie jednej trzeciej, elementy przyniesione przez ostatnią falę migracji z Azji. Co ciekawe czaszki żeńskie są mniej archaiczne, choć zwykle to kobiety w materiale antropologicznym reprezentują starsze podłoże.

Czaszki z sektorów północnych są nieliczne i jedynie sześć z nich zachowało się w stanie umożliwiającym oznaczenie typologiczne. Bez wątpienia ta niska liczebność wpłynęła na zdecydowanie odmienną strukturę:

$$i >> m >> f = z = p = q$$

Trudno by było jednakże uważać, że reprezentują one zdecydowanie inną populację, zważywszy, że brak tu jedynie elementu laponoidalnego, a spośród czterech jednostek typologicznych tylko jedna (IQ) należy do rzadkich na Tabladzie. Pozostałe pochodzą z grupy dominantów, a dwie oznaczone jako IZ są najliczniejszym typem na całym cmentarzysku. Oznacza to, że próba tak skrajnie nieliczna nie odbiega istotnie od całości serii.

Czaszki z grobów komorowych są nieco liczniejsze i obejmują dziesięć sztuk. Niestety niemożliwe było przeanalizowanie chwilowo niedostępnego materiału wyeksplorowanego wcześniej przez Instytut Riva Agüero. Badane czaszki mają strukturę antropologiczną nieco odmienną niż sektor SE:

$$f > i > z = m > p > l$$

jednakże owa odmienność nie jest zbyt radykalna. Dwie z nich to czyste rasy, trzy reprezentują jeden typ (ZF), zaś całość to zaledwie sześć jednostek typologicznych. Oznacza to, że na jeden typ przypada tu średnio 1.7 czaszki, podczas gdy dla sektorów północnych mamy zaledwie 1.5 czaszki na jedną jednostkę typologiczną, a w sektorze SE - 6.0. Obie nieliczne serie są niezwykle różnorodne i przy większej liczebności mogłyby stanowić interesujący materiał porównawczy. Bez wątpienia ich skład typologiczny wskazuje na przynależność do tej samej populacji, co czaszki z głównego sektora południowo-wschodniego.

III. Tablada a serie kraniologiczne z centralnego wybrzeża Peru

Dzięki porównaniu czaszek z sąsiadującym z Tabladą cmentarzyskiem w Villa El Salvador i serią czaszek z Paracas, możliwa jest wstępna analiza stosunków ludnościowych na środkowym wybrzeżu Peru w okresie *Formativo Superior*. Seria z Villa El Salvador liczy 62 czaszki, z Paracas - 82. Skład typologiczny zamieszczono w tabeli 4, zaś strukturę rasową w tabeli 5.

Wszystkie trzy serie charakteryzują się wysoką różnorodnością typologiczną. Ilość jednostek typologicznych wynosi bowiem: na Tabladzie - 23, w Villa El Salvador - 19, a w Paracas 21. To bardzo dużo, zważywszy, że druga z serii liczy zaledwie 62 czaszki (3.26 czaszki na jednostkę!). Tę różnorodność podkreśla specyficzna struktura dominacji. Najliczniejsze typy osiągają zaledwie: 12.9% (V. Salvador), 12.3% (Tablada) i 12.2% (Paracas). Uderzająca jest prawie identyczna częstość ich występowania. Podobnie też, dla uzyskania połowy liczebności serii, w każdym przypadku niezbędne jest zsumowanie pięciu najliczniejszych typów (powtarzające się typy podkreślono):

Tablada	<u>IZ</u> + <u>ZF</u> + <u>MF</u> + <u>IF</u> + <u>IM</u>	(50.0%)
V. Salvador	<u>MF</u> + <u>ZM</u> + <u>ZF</u> + <u>IL</u> + <u>PF</u>	(53.2%)
Paracas	<u>IF</u> + <u>ZP</u> + <u>IZ</u> + <u>ZZ</u> + <u>IM</u>	(47.6%)

Żaden z typów nie powtarza się trzykrotnie, natomiast (co bardzo znamienne) wszystkie pięć pierwszych typów z Tablady pojawia się wśród piątki dominantów w następnych seriach. Najliczniejszy na Tabladzie typ IZ (eskimoidalno-

pacyficzny) zajmuje trzecie miejsce w Paracas, lecz dopiero szóstą pozycję w Villa El Salvador. Największy udział czystych ras, będący swego rodzaju wskaźnikiem jednolitego charakteru badanych populacji, ma seria z Paracas - aż 12.2%, na Tabladzie jest ich także dość dużo, bo 9.1%, zaś w Villa El Salvador zaledwie 6.5%. Oznaczać to może, iż ta ostatnia zajmuje najbardziej przejściowe stanowisko.

Skład typologiczny Villa El Salvador różni się wyraźnie od serii z Paracas. Aż cztery jednostki, z porównywanych występują tylko w jednej z serii. Jeszcze bardziej dobitnie widać to we wzajemnym ustawieniu dominujących typów. Dominant z V. Salvador (MF) pojawia się w Paracas dopiero na ósmej pozycji z częstością 3.7%, zaś dominujący w Paracas IF zajmuje w V. Salvador jedenaste miejsce, z podobną częstością (3.2%).

To wzajemne „przetasowanie” struktury dominacji, tak charakterystyczne dla tych porównań, tłumaczy znakomicie analiza składu rasowego (tabele 5 i 6).

Dominujący na Tabladzie składnik, jakim jest *fuegid*, w Villa El Salvador zajmuje drugie miejsce, a w Paracas trzecie (*ex equo* z elementem wyżynnym). W obydwu seriach porównawczych dominuje natomiast *pacyfid*. Bardzo liczny, zarówno na Tabladzie jak w Paracas *arktyk*, jest w Villa El Salvador dopiero na czwartym miejscu, jeśli chodzi o liczebność.

Pogrupowane składniki (tabela 6) pozwalają na następujące wytłumaczenie obserwowanych różnic: składniki archaiczne, najliczniejsze na Tabladzie, wskazują na ewentualne górskie pochodzenie ludności pochowanej na tym cmentarzysku, bowiem występowanie tych elementów związane jest wyraźnie z Andami. Odpowiednio do tego, najmłodsza fala antropologiczna jest najmniej liczna. Środkowa z warstw ludnościowych najliczniejsza jest w Paracas. Tu także udział składników archaicznych (górskich) jest najmniejszy, a nowszych (wybrzeżnych) dość znaczny. Ludność ze stanowiska Villa El Salvador zajmuje wyraźnie pośrednie położenie, o czym świadczy wyrównany udział składników archaicznych i młodszych, przy identycznej, jak na Tabladzie, częstości średniej warstwy wiekowej. Poziom różnic nie jest jednakże wysoki, co najwyraźniej oznacza, iż z antropologicznego punktu widzenia, nie możemy mówić o jednolitym charakterze każdej z badanych populacji. Najprawdopodobniej powstały one na skutek różnorodnych oddziaływań i migracji, zarówno idących wzdłuż wybrzeża, jak i z gór. Zestawienie udziału archaicznej i najnowszej warstwy składników w rozbiciu na płcie, może rzucić pewne światło na to zagadnienie (tabela 7).

Jeśli przyjmijemy założenie, zgodne zresztą z obserwowaną na całym świecie kolejnością zdarzeń, iż kobiety reprezentują stare podłoże antropologiczne, na które nawarstwiają się przybysze z zewnątrz (z reguły wojownicy, a więc mężczyźni), to porównanie obu płci pozwoli nam ocenić zarówno pierwotny wygląd populacji, jak i strukturę rasową przybyszów. Oczywiście wnioski z takich porównań obarczone mogą być dużym błędem i wymagają uściśleń, które jak sądzę, przyniosą dalsze badania. Tymczasem, dysponując posiadanym materiałem, możemy postawić następujące hipotezy:

a) ludność Paracas reprezentowała pierwotnie archaiczną strukturę, z wyraźną

- przewagą elementów górskich, na którą nałożyli się przybysze o bardziej wybrzeżnym charakterze,
- b) wymieszana pod względem udziału obu warstw ludnościowych populacja z Tablady, została zmieniona przez przybyszów z gór, mających bardzo archaiczną strukturę rasową,
 - c) migranci z gór „przemodelowali” także pierwotnie wybitnie wybrzeżną, pod względem antropologicznym, ludność z Villa El Salvador.

Te stosunkowo ogólne wnioski możemy uszczegółowić stosując dla składów rasowych procedurę diagraficzną Czekanowskiego. Ze względu na istotne dla analizy różnice pomiędzy płciami, główne serie (to jest Tablada, pochówki z sektora SE, V. Salvador i Paracas) rozbito na płcie. Niska liczebność pochówków z grobów komorowych i z sektorów północnych z Tablady uniemożliwiła podobną operację. Pomimo to, włączono je do analizy, pamiętając o ograniczeniach wynikających z ich niskiej reprezentatywności. Po wyliczeniu macierzy odległości (tabela 8) i uporządkowaniu diagramu otrzymujemy wynik, który w dużym stopniu potwierdza poprzednie wnioski (fig. 2).

O podobieństwie badanych serii świadczy brak wyraźniej wydzielających się grup w diagramie. Od całości odbiegają jedynie sektory północne z Tablady (jak pamiętamy jest to grupa wybitnie nieliczna, co może powodować tego typu efekty) i mężczyźni z Paracas, którzy jednakże z grupą główną są nieźle związani. Tę główną grupę stanowi pięć serii z Tablady i V. Salvador oraz kobiety z Paracas. Wyróżnienie w jej obrębie czytelnych podgrup jest dosyć trudne. Jak się wydaje sektor południowo-wschodni z Tablady (obie płcie) stanowi jedną z takich podgrup, do której nawiązują sektory północne (b. słabo) i seria czaszek żeńskich z Paracas. Czaszki z grobów komorowych są z jednej strony powiązane z V. Salvador, a z drugiej z sektorami południowo-wschodnimi. Diagram pozwala na postawienie kolejnych hipotez:

- d) serie czaszek z wybrzeża są dosyć silnie ze sobą związane,
- e) wcześniejsze pochówki z Tablady są silnie związane z Villa El Salvador.

Potwierdza się poprzednia hipoteza, że czaszki z Paracas świadczą o dość niedawnych zmianach ludnościowych na tym stanowisku.

IV. Organizacja wewnętrzna cmentarzyska *Tablada de Lurin*, a struktura antropologiczna

Według wstępnych danych możliwe jest wyróżnienie w obrębie głównego sektora cmentarzyska, to jest sektora południowo-wschodniego swoistych ugrupowań (*nucleos*) pochówków różniących się do siebie pewnymi elementami wyposażenia grobowego, układu, etc. (fig. 3).

Co prawda przynależność poszczególnych grobów do tych skupisk, nie zawsze jest pewna, niemniej jednak postanowiono przebadać ewentualne różnice struktury antropologicznej pomiędzy nimi. Reprezentujące je czaszki, które udało się oznaczyć, nie zawsze są liczne. Liczebność poszczególnych skupień, których wyróżniono osiem (oznaczenia literowe od A do H) wynosi od 5 do 26 czaszek. Ponadto

oddzielnie potraktowano czaszki nie zaliczone do żadnego z tak wyróżnionych zgrupowań, tworzących swego rodzaju „tło” (oznaczenie - T). Do analizy diagraficzej włączono czaszki z sektorów północnych i grobów komorowych (odpowiednio - N i K). Zastosowano procedurę taką samą, jak poprzednio, uzyskując następujące wyniki (tabele 9 i 10, fig. 4).

Szczegółowa analiza otrzymanego diagramu pokazuje, iż skupiska różnią się znacznie od siebie. I o ile większość z nich wydaje się być ze sobą silnie związana, to skupiska: A, F oraz H wyraźnie „odstają” od reszty. Wyróżnione, jako oddzielne tzw. tło, doskonale mieści się w tej grupie, podobnie jak i groby komorowe. Przy założeniu, że groby komorowe reprezentują starsze pochówki, świadczyłoby to o istotnym wpływie pochowanej w niej ludności na późniejszą strukturę antropologiczną. Odrębność pochówków z sektorów północnych jest potwierdzona ich stosunkowo izolowaną pozycją. Niezrozumiałe natomiast pozostaje położenie innych, nie łączących się z resztą skupisk. Być może wynika ono z odrębności struktury antropologicznej chowanych w obrębie skupisk rodów czy klanów. Potwierdzałyby tę hipotezę niezgodność grafu otrzymanego przez przekształcenie macierzy odległości, z relacjami geometrycznymi skupisk, które obserwujemy w obrębie cmentarzyska (fig. 5).

V. Wnioski

Zastosowanie metod analizy typologicznej do porównania czaszek z cmentarzyska *Tablada de Lurin*, zarówno w obrębie tego stanowiska, jak i ze zbliżonymi chronoterytorialnie seriami kraniologicznymi, pozwoliło na wykazanie, iż:

- 1) ludność środkowego wybrzeża Peru w okresie od ok. 200 p.n.e. do ok. 300 n.e. kształtowana była przez ruchy ludnościowe skierowane z gór na wybrzeże oraz migracje wzdłuż Pacyfiku,
- 2) analizowane serie czaszek różnią się na tyle istotnie, że możemy mówić o istnieniu odrębnych populacji, mających swoją własną strukturę antropologiczną i nieco inną etnogenezę,
- 3) w obrębie cmentarzyska *Tablada de Lurin* można wykazać istnienie zgrupowań pochówków, pomiędzy którymi istnieją różnice wskazujące na odrębność antropologiczną, najprawdopodobniej typu rodowo-klanowego.

Literatura:

IMBELLONI J.,

1938 *Tabla clasificatoria de los indios. Regiones biológicas y grupos raciales humanos de América*, Physis 12, p. 229-249.

MICHALSKI I.,

1953 *Metoda morfologiczna w zastosowaniu do określenia taksonomicznego materiału ludzkiego*, Przegląd Antropologiczny 19, p. 167-198.

PIASECKI K.,

1992 *Las nuevas escalas craneoscópicas. Observaciones preliminares* [Documentos de Trabajo 7 (CESLA UW)], Warszawa.

1994 *The origin and anthropological structure of prehispanic Amerindians: selected questions*, Ethnologia Polona 18, p. 155-180.

1997 *Czaszki ze stanowiska Tumpullo 2*, Studies in Physical Anthropology 1 (w druku).

WIERCIŃSKI A.,

1975 *Racial taxonomy of some past and living population of Peru*, WiadA 40, p. 441-456.

WIERCIŃSKI A., PIASECKI K.,

1986 *Análisis antropológico de los restos óseos humanos de la región Cayash* in: *Cayash Prehispánico*, A. KRZANOWSKI ed., Kraków, p. 249-265.

TELLO J.C., MEJÍA XESSPE T.,

1979 *Paracas, II Parte Cavernas y Necropolis*, Lima.

Ilustracje:

Fig. 1. Lokalizacja cmentarzysk, z których pochodziły badane czaszki. Cyframi oznaczono: 1 – *Tablada de Lurin*, 2 – *Villa el Salvador*, 3 – *Paracas*. Rys. K. Piasecki.

Fig. 2. Uporządkowany diagram Czekanowskiego dla serii ze środkowego wybrzeża Peru.

Fig. 3. *Tablada de Lurin*, sektor SE. Przestrzenne rozłożenie grobów, z których pochodziły analizowane czaszki. Poszczególne skupiska oznaczono kolejnymi literami. Rys. K. Piasecki.

Fig. 4. *Tablada de Lurin*. Uporządkowany diagram Czekanowskiego dla skupisk pochówków.

Fig. 5. *Tablada de Lurin*. Porównanie geometrycznych relacji pomiędzy skupiskami sektora SE a podobieństwem ich struktury antropologicznej.

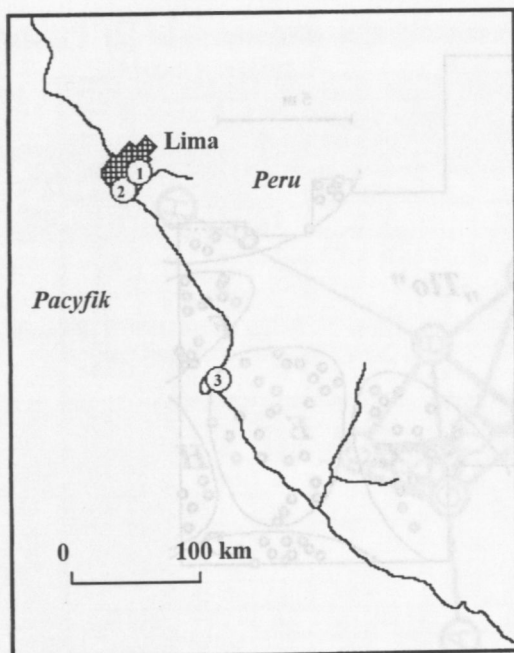


Fig. 1

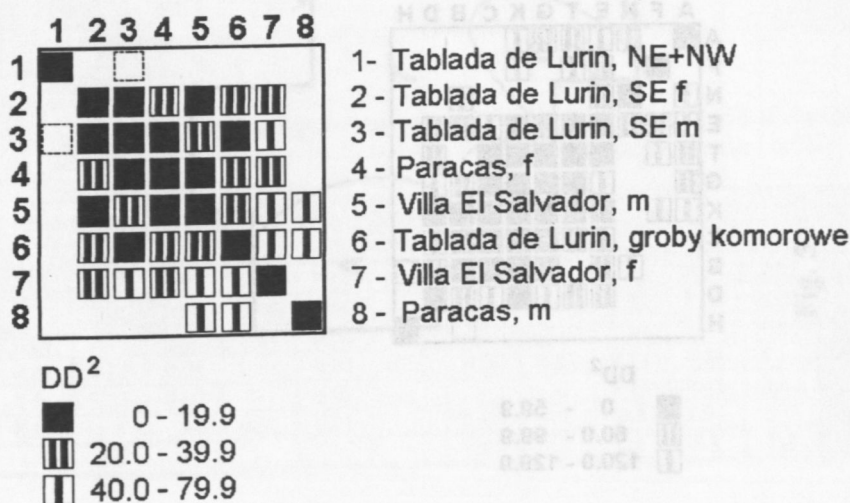
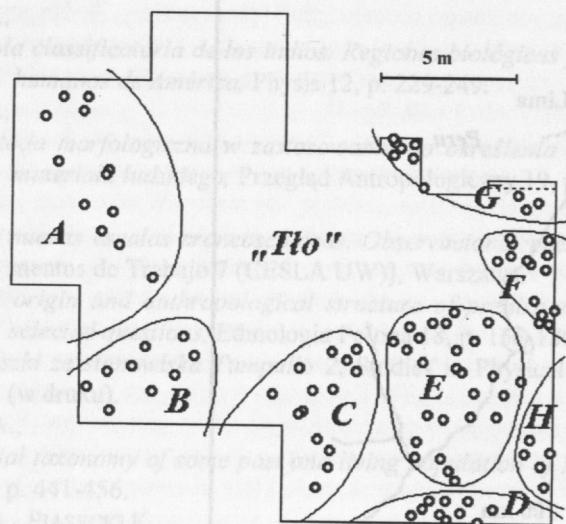


Fig. 2

Literatura:

- IMBELLONI J., 1934 *Tabla clasificatoria de los indios. Regiones biológicas y grupos raciales*. *Revista de la Universidad de Tucumán*, Física 12, p. 22-24.
- MICHALSKI L., 1953 *Mapa geograficzne w zakresie etnografii i etnologii*. *Prace Instytutu Etnografii i Etnologii*, Warszawa, 167-198.
- PIASECKI K., 1992 *Las cuevas de Tucumán (Argentina) y sus habitantes*. *Revista de la Universidad de Tucumán*, Física 40, p. 441-456.
- WIĘCINSKA A., 1975 *Racial taxonomy of some past populations of Peru*. *Wiadomości Etnograficzne*, Warszawa, 167-198.
- WIĘCINSKA A., PIASECKI K., 1986 *Anatomía biológica de los restos óseos humanos de la región Cayash*. *Revista de la Universidad de Tucumán*, Física 40, p. 441-456.
- TELLO J.C., MEJIA XESSPE T., 1979 *Paracas. II Parte Cavernas y Necrópolis*. Lima.

Fig. 3



DD²

- 0 - 59.9
- ▨ 60.0 - 99.9
- 120.0 - 129.9

Fig. 4

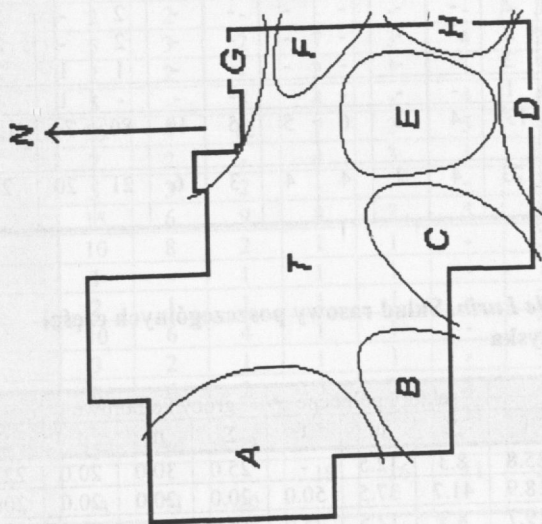


Fig. 5

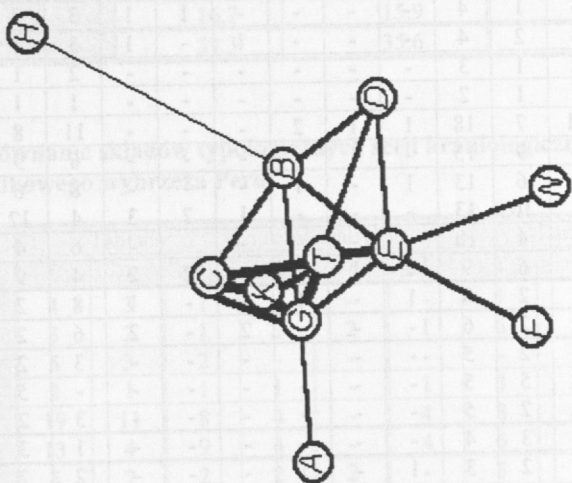


Tabela 1. Skład typologiczny czaszek z *Tablada de Lurin*

Typ	sektor SE			sektory północne			groby komorowe			całość		
	m	f	Σ	m	f	Σ	m	f	Σ	m	f	Σ
LL	3	1	4	-	-	-	-	1	1	3	2	5
II	3	2	4	-	-	-	1	-	1	3	1	4
ZZ	2	1	3	-	-	-	-	-	-	2	1	3
FF	1	1	2	-	-	-	-	-	-	1	1	2
IZ	11	7	18	1	1	2	-	-	-	11	8	19
MF	6	9	15	-	-	-	-	-	-	6	9	15
IF	7	6	13	1	-	1	-	-	-	8	6	14
ZF	3	10	13	-	-	-	1	2	3	4	12	
LF	6	4	10	-	-	-	-	-	-	6	4	16
IM	3	6	9	1	1	2	-	2	2	4	9	10
MP	6	2	8	1	-	1	1	-	1	8	2	13
PF	4	2	6	-	-	-	2	-	2	6	2	10
ZM	3	2	5	-	-	-	-	-	-	3	2	5
ZL	-	5	5	-	-	-	-	-	-	-	5	5
ML	3	2	5	-	-	-	-	-	-	3	2	5
IL	1	3	4	-	-	-	-	-	-	1	3	4
IQ	1	2	3	1	-	1	-	-	-	2	2	4
PL	2	1	3	-	-	-	-	-	-	2	1	3
IP	2	-	2	-	-	-	-	-	-	2	-	2
ZQ	2	-	2	-	-	-	-	-	-	2	-	2
ZP	2	-	2	-	-	-	-	-	-	2	-	2
QF	1	1	2	-	-	-	-	-	-	1	1	2
QL	-	1	1	-	-	-	-	-	-	-	1	1
ilość czaszek	71	67	138	4	2	6	5	5	10	80	74	154
ilość typów	21	20	23	4	2	4	4	3	6	21	20	23

Tabela 2. *Tablada de Lurin*. Skład rasowy poszczególnych części cmentarzyska

	sektor SE			sektory północne			groby komorowe			całość		
	Σ	m	f	Σ	m	f	Σ	m	f	Σ	m	f
f	22.5	19.4	25.8	8.3	12.5	-	25.0	30.0	20.0	22.4	20.6	17.6
i	20.3	21.5	18.9	41.7	37.5	50.0	20.0	20.0	20.0	20.8	21.3	20.3
z	18.5	17.4	19.7	8.3	12.5	25.0	15.0	10.0	20.0	17.9	16.3	19.6
m	14.9	13.9	15.9	25.0	25.0	25.0	15.0	10.0	20.0	15.6	15.0	16.9
l	13.0	13.9	12.1	-	-	-	10.0	-	20.0	12.3	11.3	19.6
p	7.6	11.1	3.8	8.3	12.5	-	15.0	30.0	-	8.1	12.5	3.4
q	3.3	2.8	3.8	8.3	12.5	-	-	-	-	2.9	3.1	2.7

Tabela 3. Udział poszczególnych grup elementów w strukturze rasowej czaszek z sektora SE

	m	k	Σ
i+p+f	52.0	48.5	50.4
l+q	16.7	15.9	16.3
z+m	31.3	35.6	33.4

Tabela 4. Porównanie składow typologicznych serii kranologicznych ze środkowego wybrzeża Peru

Typ	Tablada			V. Salvador			Paracas		
	Σ	m	f	Σ	m	f	Σ	m	f
II	4	3	1	-	-	-	1	1	-
ZZ	3	2	1	3	2	1	6	5	1
LL	5	3	2	-	-	-	-	-	-
FF	2	1	1	1	-	1	3	2	1
IZ	19	11	8	4	-	4	8	6	2
IM	13	4	9	4	-	4	6	4	2
IQ	4	2	2	2	2	-	3	1	2
IL	4	1	3	6	4	2	5	3	2
IF	14	8	6	2	2	-	10	7	3
IP	2	2	-	-	-	-	3	2	1
ZM	5	3	2	7	3	4	2	-	2
ZQ	2	2	-	2	1	1	3	3	-
ZL	5	-	5	4	-	4	4	2	2
ZF	16	4	12	7	2	5	4	2	2
ZP	2	2	-	4	3	1	9	4	5
ML	5	3	2	-	-	-	2	-	2
MF	15	6	9	8	3	5	3	1	2
MP	10	8	2	1	1	-	3	2	1
QL	1	-	1	1	1	-	1	1	-
QF	2	1	1	1	1	-	2	2	-
LF	10	6	4	1	1	-	2	1	1
PL	3	2	1	1	1	-	-	-	-
PF	8	6	2	5	3	2	2	1	1
liczba czaszek				62	31	31	82	50	32
	154	80	74						
liczba typów				19	16	11	21	19	17
	23	21	20						

Tabela 5. Porównanie struktury rasowej serii kranologicznych ze środkowego wybrzeża Peru

Składnik:	Tablada			V. Salvador			Paracas		
	Σ	m	f	Σ	m	f	Σ	m	f
fuegidalny - f	22.4	20.6	17.6	21.0	19.4	22.6	13.4	11.0	17.2
arktyczny - i	20.8	21.3	20.3	12.9	16.1	9.7	20.7	22.0	18.8
pacyficzny - z	17.9	16.3	19.6	25.8	24.2	27.4	26.2	28.0	23.4
mongoloidalny - m	15.6	15.0	16.9	16.1	11.3	21.0	9.8	7.0	14.1
laponoidalny - l	12.3	11.3	19.6	10.5	9.7	11.3	8.5	7.0	10.9
ainuidalny - p	8.1	12.5	3.4	8.9	12.9	4.8	7.9	5.0	12.5
wyżynny - q	2.9	3.1	2.7	4.8	6.5	3.2	13.4	20.0	3.1

Tabela 6. Serie kranologiczne ze środkowego wybrzeża Peru. Porównanie grup składników rasowych

Składnik:	Tablada	V. Salvador	Paracas
i+p+f	51.3	42.8	42.0
q+l	15.2	15.3	21.9
m+z	33.5	41.9	36.0

Tabela 7. Porównanie procentowego udziału archaicznych i najmłodszych składników rasowych występujących w seriach kranologicznych ze środkowego wybrzeża Peru

Warstwa:	Tablada de Lurin		Villa El Salvador		Paracas	
	m	k	m	k	m	k
archaiczna	54.4	41.3	48.4	37.1	38.0	48.5
najmłodsza	31.3	36.5	35.5	48.4	35.0	37.5

Tabela 8. Czaszki ze środkowego wybrzeża Peru. Macierz odległości DD² dla składów rasowych

		1	2	3	4	5	6	7	8
Tablada, NE+NW	1	0	175.1	137.6	159.1	214.2	158.4	253.6	186.8
Tablada, SE f	2	175.1	0	16.4	24.0	18.0	24.1	37.3	95.2
Tablada, SE m	3	137.6	16.4	0	8.5	24.6	11.3	49.5	87.3
Paracas, f	4	159.1	24.0	8.5	0	10.7	21.5	33.6	68.2
V. Salvador, m	5	214.2	18.0	24.6	10.7	0	35.0	8.5	76.6
Tablada, g. komorowe	6	158.4	24.1	11.3	21.5	35.0	0	59.7	130.6
V. Salvador, f	7	253.6	37.3	49.5	33.6	8.5	59.7	0	111.9
Paracas, m	8	186.8	95.2	87.3	68.2	76.6	130.6	111.9	0

Tabela 9. *Tablada de Lurin*. Skład rasowy poszczególnych skupisk

Składnik:	skupisko										
	A	B	C	D	E	F	G	H	T	N	K
arktyczny - i	25.0	27.8	21.4	15.0	21.2	-	20.0	30.0	21.6	41.7	20.0
pacyficzny - z	37.5	11.1	14.3	10.0	23.1	25.0	20.0	10.0	13.5	25.0	15.0
mongoloidalny – m	12.5	22.2	21.4	20.0	7.7	14.3	20.0	-	16.2	8.3	15.0
wyżynny - q	-	5.6	-	-	3.8	3.6	-	30.0	2.7	8.3	-
laponoidalny – l	16.7	5.6	7.1	25.0	11.5	21.4	20.0	10.0	12.2	-	10.0
fuegidalny - f	8.3	22.2	14.3	25.0	28.8	35.7	10.0	20.0	24.3	8.3	25.0
ainuidalny - p	-	5.6	21.4	5.0	3.8	-	10.0	-	9.3	8.3	15.0

Tabela 10. *Tablada de Lurin*. Macierz odległości DD² dla składów rasowych skupisk

	A	F	N	E	T	G	K	C	B	D	H
A	0	224.6	124.2	103.0	86.0	71.6	105.2	173.8	168.3	183.6	288.5
F	224.6	0	439.2	93.8	129.7	176.1	104.4	250.3	213.7	207.9	400.4
N	124.2	439.2	0	66.6	148.0	158.2	58.4	228.5	117.0	351.2	172.5
E	103.0	93.8	66.6	0	31.3	91.6	40.0	117.0	68.2	81.6	155.6
T	86.0	129.7	148.0	31.3	0	47.4	7.0	43.2	139.3	70.6	172.0
G	71.6	176.1	158.2	91.6	47.4	0	57.1	50.2	78.8	114.3	257.1
K	105.2	104.4	58.4	40.0	7.0	57.1	0	29.6	39.3	57.1	214.3
C	173.8	250.3	228.5	117.0	43.2	50.2	29.6	0	56.8	109.3	278.5
B	168.3	213.7	117.0	68.2	139.2	78.8	39.3	56.8	0	83.7	64.3
D	183.6	207.9	351.2	81.6	70.6	114.3	57.1	109.3	83.7	0	57.1
H	288.5	400.4	172.5	155.6	172.0	257.1	214.3	278.5	64.3	57.1	0